

# 轧辊的磨损

A.П.契克瑪夫夫  
P.A.馬什科夫采夫  
著

李裕芳譯

117

冶金工业出版社

# 軋 輓 的 磨 損

A. П. 契克瑪辽夫 合著

P. A. 馬什科夫采夫

李裕芳 譯 姚由 校閱

冶金工业出版社

А.П.Чекмарев Р.А.Машковцев  
ИЗНОС ПРОКАТНЫХ ВАЛКОВ  
Металлургиздат Харьков 1955

軋輥的磨損 李裕芳譯  
編輯：孙文俊 設計：周廣 韓晶石 校對：楊繼琴

\* \* \*  
冶金工业出版社出版 (北京市灯市口甲45号)

北京市書刊出版業營業許可證出字第093号

中央民族印刷厂印 新华书店发行

\* \* \*  
1959年5月第一版

1959年5月北京第一次印刷

印数 3,710 册

開本850×1168. 1/32. 120,000字. 印張4— $\frac{22}{32}$  \*

\* \* \*  
統一書號15062·1532 定價 0.60 元

## 簡 介

本书探討了有关提高軋輶寿命的各种問題。敘述了引起軋輶較大磨損的基本原因及提高軋輶耐 磨性的方法，並且分析了軋制過程中軋輶磨損的各种實驗研究資料。進行分析時考慮到溫度、壓力、壓縮的不均勻性、軋輶（孔型）的表面層硬度，以及金屬沿軋輶滑動所產生的一切因素。闡明了測量和確定各種孔型 磨損的方法。指出了借澆注軋輶用鑄鐵的變性處理及進行 輶身表面淬火而強化軋輶、採用鑄鐵和鑄鋁孔型、軋輶的電焊焊補和軋輶滾壓強化等提高 輶輶耐 磨性的方法。

对于了解軋輶的工作所必需的軋制原理和軋輶孔型 設計問題，也作了介紹。

本书适用于制造和使用軋輶的工程技術人員閱讀。

# 目 录

緒論.....	1
<b>第一章 軋制過程和軋輶.....</b>	<b>2</b>
1. 軋制過程.....	2
2. 簡單鋼材和異型鋼材的孔型設計及其軋制.....	14
3. 軋輶.....	28
4. 影響軋輶磨損的因素.....	35
5. 進行軋輶磨損測定的 550 軋鋼機.....	49
<b>第二章 軋制扁鋼時軋輶的磨損.....</b>	<b>42</b>
1. 軋件的溫度.....	42
2. 軋輶的硬度.....	42
3. 軋制扁鋼時的變形不均勻性.....	43
4. 軋制扁鋼時軋輶磨損的數據.....	44
5. 考慮到磨損的軋輶孔型設計.....	48
<b>第三章 軋制角鋼時孔型的磨損.....</b>	<b>50</b>
1. 角鋼孔型中金屬的滑動.....	50
2. 角鋼孔型表面的軋輶硬度.....	59
3. 所軋角鋼的溫度.....	60
4. 角鋼孔型中金屬變形的不均勻性.....	61
5. 角鋼孔型磨損的數據.....	63
6. 考慮角鋼孔型磨損的軋輶孔型設計.....	70
<b>第四章 異型孔型的磨損.....</b>	<b>72</b>
1. 金屬滑動對磨損的影響.....	72
2. 軋輶表面硬度不均所引起的孔型磨損.....	80
3. 所軋槽鋼和工字鋼的溫度不均勻性.....	81
4. 金屬變形的不均勻性.....	83
5. 異型孔型的磨損數據.....	86
6. 考慮異形孔型磨損的軋輶孔型設計.....	96
<b>第五章 軋制鋼板、鋼坯、圓鋼、方鋼、鋼管、鋼軌和其他鋼材時軋輶的磨損.....</b>	<b>99</b>

1. 軋板軋輥	99
2. 矩形孔型	102
3. 方孔型	105
4. 圓孔型和橢圓孔型	108
5. 鋼軋孔型	112
6. 鋼窗孔型	113
7. 孔型磨損所引起的軋件的缺陷	116
<b>第六章 軋輥耐磨性的提高</b>	<b>120</b>
1. 帶鑄造軋槽的軋輥	120
2. 軋輥金屬的合金處理和變性處理	123
3. 利用氣體火焰的軋輥表面淬火	127
4. 在環形加熱爐中的軋輥淬火	132
5. 軋輥的電焊焊補	136
6. 軋輥的滾壓強化	142
<b>參考文獻</b>	<b>145</b>

## 緒論

国民经济的各个部门，特别是重工业部门每年都需要几百万吨钢材。轧钢生产最重要的任务是生产和掌握新型钢材。现在钢材断面的种类有几百种，而不同的断面和尺寸则有几千种。

用轧制的方法制造产品必须有大量各种不同的轧辊。此外，在生产过程中由于磨损和断裂，每年有几万个轧辊报废而成为废料。

这些情况迫使人们寻找提高轧辊耐磨性的方法，改善轧辊质量来满足工业上的需要。

耐磨的轧辊才可能轧制尺寸公差严格的产品，并且可以轧出很清洁的、表面质量高的产品。同时，轧辊工作期限增长就能减少因换辊所需的停机时间（换辊时间占轧钢机工作的总时间的5~10%），可以提高钢材生产量。

考虑到解决提高轧辊耐磨性问题的急迫性，本书作者根据在生产实践中得出的实验数据提出了达到这一目的的各种方法和措施。

这些方法是：借轧辊辊身表面火焰淬火以提高硬度和耐磨性，修理轧辊时进行电焊焊补，轧辊金属的合金处理和变性处理，在环形炉中进行轧辊淬火，滚压强化等。

普遍推行已经通用的，以及上述提高轧辊耐磨性的各种方法，可以使每吨钢材的轧辊平均消耗量从3~5公斤降低到1~1.5公斤，也就是减少三分之二。

# 第一章 轧制过程和轧辊

## 1. 轧制过程

轧制过程分三个阶段（图1）。

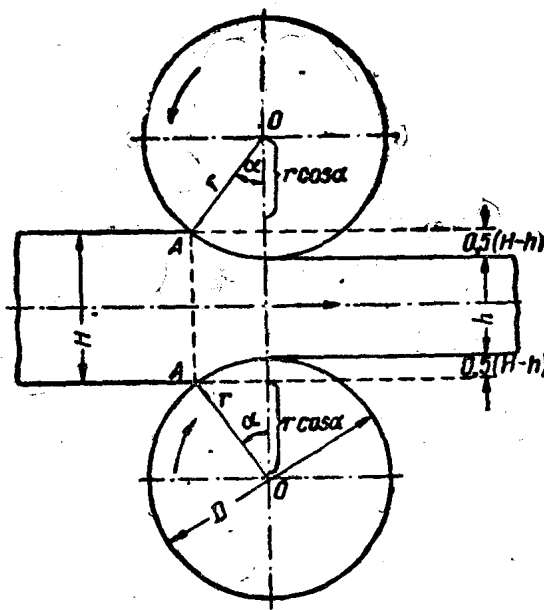


图1 轧制图

第一阶段是金属充填圆柱与轧辊间的孔隙的阶段。这个阶段从金属与轧辊在A点接触后开始到零件头端与轧辊中心线OO重合时结束。由于在不同的时间，金属进入轧辊的程度也不同，所以这个轧制阶段是可变的，也可以称作不稳定轧制过程的阶段。从保证金属进入轧辊的观点来看，第一阶段是轧制过程中最重要的阶段。

第二阶段从零件头端出OO线开始到零件末端与AA线重合时结束。第二阶段的时间最长。在这个阶段中轧制条件是不变的，所以它又叫做稳定阶段。

在軋制原理中已經确定了第一阶段和第二阶段間的一定关系。

軋件末端出  $AA'$  線到軋制結束，也就是軋件末端出  $OO'$  線這是第三阶段。这个未穩定軋制過程的阶段沒有实际的或是理論的意义，所以不再进行研究。

现在来研究軋制過程的第一未穩定阶段。为实现軋制必須将軋件送入轉动着的軋輥，并且在軋件上加一定的力。沒有这个力，在接触部分不能产生摩擦力，显然也就不能分析軋制過程。将金屬推向軋輥所必須的力可能由于軋鋼工用夹鉗将金屬送入軋輥而产生，也可能由軋道和其他机械化送料設備的作用而产生。在上述两种情况下，推力都使軋件的上下边缘产生某些压扁的现象。軋件送入軋輥的推力愈大，軋件的宽度和硬度愈小，那么这种压扁也愈大。当軋件有一定的速度送入軋輥时（机械化送料时），在接触的时刻軋件发生停頓，并且軋件撞击軋輥，这种停頓的結果使軋件失去动能，也引起軋件边缘的压扁，軋件的速度和重量愈大，宽度和硬度愈小，那么产生的压扁也愈大。

可见，在研究軋入条件时必須采用这样的簡图，在簡图上金屬与軋輥的接触是宽度为  $B$ （軋件宽度）的接触面，其长度为压扁弧长  $AA'$ ，且有推力  $Q$ （图2）。

如果沒有压扁，那么  $A$  点的压力与垂綫成  $\alpha$  角。压扁的存在使压力  $P$  的作用角減小压扁角  $\theta$  的二分之一而为  $\alpha'$ 。

为使金屬軋入軋輥，必須使軋制方向上軋輥作用在軋件上的各个力之和等于零或大于零（順軋制方向的力为正）。这些力在

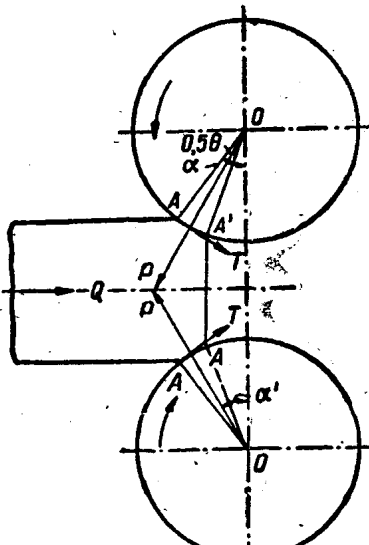


图 2 金属軋入軋輥

水平方向的投影(在軋制軸上)等于:  $P_x = P \sin \alpha'$ ;  $T_x = T \cdot \cos \alpha'$ ;  $Q_x = Q$  (設推力为水平方向)。

軋入时的接触摩擦系数用  $f_s$  表示, 得:

$$T = f_s \cdot P; \quad T_x = f_s \cdot P \cos \alpha'. \quad (1)$$

接触时可能存在以下的条件:

$$f_s P \cos \alpha' + 0.5Q \geq P \cdot \sin \alpha'. \quad (2)$$

$$f_s P \cos \alpha' + 0.5Q \leq P \cdot \sin \alpha'. \quad (3)$$

在 (2) 式的条件下可以軋入, 在 (3) 式的条件下不能軋入。我們来分析在临界值的情况下 (2) 式和 (3) 式的条件:

$$f_s P \cos \alpha' + 0.5Q = P \sin \alpha'.$$

以摩擦角  $\beta_s$  代替摩擦系数  $f_s$ 。因为摩擦系数等于摩擦角的正切值, 也就是:

$$\operatorname{tg} \beta_s = f_s,$$

所以

$$\operatorname{tg} \beta_s P \cos \alpha' + 0.5Q = P \cdot \sin \alpha',$$

由此

$$\operatorname{tg} \alpha' = \operatorname{tg} \beta_s + \frac{Q}{2P \cdot \cos \alpha'}.$$

因为  $\alpha' = \alpha - 0.5\Theta$ , 則:

$$\operatorname{tg}(\alpha - 0.5\Theta) = \operatorname{tg} \beta_s + \frac{Q}{2P \cdot \cos(\alpha - 0.5\Theta)}. \quad (4)$$

得到的方程式表示出在軋入的撞击时刻軋入角与摩擦角、压扁角、以及压力和推力之間的关系。压扁角、摩擦角和推力增大时, 軋入角的最大值也增大。

如果忽略上述方程式中的压扁角和推力(数值很小时), 那么可以得到简化的式子:

$$\operatorname{tg} \alpha = \operatorname{tg} \beta_s, \quad (5)$$

由此,  $\alpha = \beta_s$ .

从方程式 (5) 可以看出, 边緣沒有压扁和沒有把金属送入軋輥的推力时, 如果軋入角大于摩擦角, 那么金属就不可能軋入軋輥。

现在来找出轧制过程第二稳定阶段的最大轧入角的表示式。为了简化问题，假设接触表面的所有各点上压力都相等，那么总压力  $P$  将作用在角度为  $\frac{\alpha}{2}$  的地方（图 3）。显然，当总压力  $P$  和摩擦力  $T$  的水平投影相等时，也就是这两个力的合力  $R$  为垂直方向时轧入角为极限值。

这时，

$$\beta_y = \frac{\alpha}{2}, \quad \text{或 } \alpha = 2\beta_y, \quad (6)$$

式中  $\beta_y$  — 轧制的稳定过程中的摩擦角。

这样，轧制的未稳定过程的轧入条件（如果忽略撞击和压扁）将为：

$$\alpha \leq \beta_s, \quad (7)$$

而稳定过程为

$$\alpha \leq 2\beta_y, \quad (8)$$

试验证明  $\beta_s \neq \beta_y$ 。通常  $\beta_y = (0.7-0.8) \beta_s$ ，对于轧制的稳定过程：

$$\alpha \leq (1.4 \sim 1.6) \beta_s. \quad (9)$$

可见稳定过程中的轧入条件可以称做“变容易了”的条件。为此就企图在  $\alpha > \beta_s$  的条件下实现轧入，因此需要假设在轧入开始时的一些特殊条件。这些条件就是采用撞击（加速）和将轧件推向轧辊。实际上也采用提高在开始轧入时的摩擦系数（也就是  $\beta_s$  增大）的方法，例如降低这时的轧辊转数，以及在轧件头端撒上砂粒。为了提高摩擦系数  $\beta_s$ ，

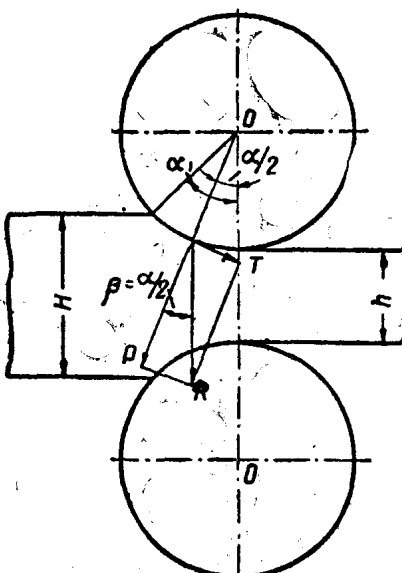


图 3 轧入角最大时的稳定过程简图

軋輥的表面制成不光滑的，并且在某些情况下在軋輥表面上还有专门的刻痕和焊痕。上述各种措施的目的是为了在軋入角  $\alpha$  接近于两倍的  $\beta_y$  的情况下保証金屬軋入軋輥，这就可以充分利用稳定过程所許可的最大軋入角  $\alpha = 2\beta_y$  的条件。

目前在实际条件下将金屬推入軋輥的方法应用比較少（例如在自动軋管机上軋制钢管）。但是如果考虑到軋入角超过  $\beta_y$  每一度都能大大提高压下量，就会清楚地理解这一因素对提高軋鋼

机生产率，特別对提高軋制大断面鋼材（初軋坯、鋼坯、型鋼等）的軋鋼机的生产率具有巨大意义。

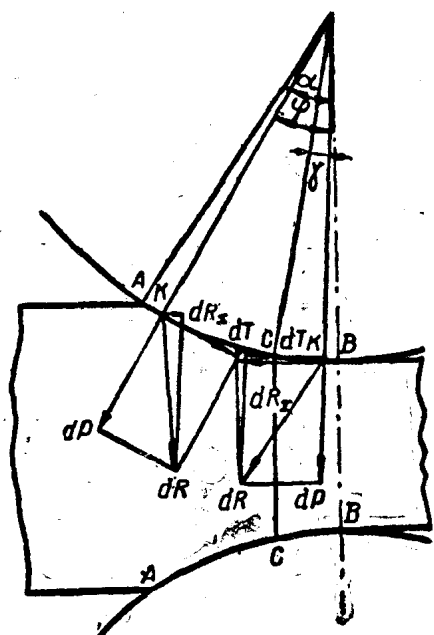
然而并不是在所有的情况下都能利用最大軋入角。时常在决定性因素是断面的精确度或金屬对軋輥的压力时（特别是在軋制钢板和带钢时），所用的压下量小于最大压下量，而在  $\alpha < \beta_y$  的条件下金屬軋入 軋輥 并无困难。在这种情况下，摩擦力大于实现軋制的稳定过程所需的数值，并且只有产生前滑才能保持变形区中力的平衡。

图 4 有前滑的軋制图  
衡，也就是在出口处某一軋入弧长度上的金屬沿軋輥向前滑动。

在  $\alpha < \beta_y$  条件下\* 的軋制图如图 4 所示。

流动界綫（临界面）CC 把变形区分为两部分：从 A 到 C 为后滑区，从 C 到 B 为前滑区。在后滑区金屬落后于軋輥；在前滑区金屬的运动比軋輥快，而在临界面內金屬和軋輥的水平速度

\* 以下得出的結論在  $\beta_s < \alpha < \beta_y$  条件下同样也是正确的。



相等。由上所述可知轧輶作用在金属上的摩擦力在后滑区方向与轧制方向相同，而在前滑区却与轧制方向相反。

在每个区的接触面上任取一点  $K$ ，并取无限小压力  $dP$ ，摩擦力  $dT$  和合力  $dR$  等向量。

合力  $dR$  在水平方向的投影等于：

在后滑区

$$dR_x = dR \cdot \sin(\beta_y - \varphi), \quad (10)$$

在前滑区

$$dR_x = dR \cdot \sin(\beta_y + \varphi). \quad (11)$$

由于轧制在一定的速度下进行，并且作用力都平衡，所有各力之和等于零（力  $dR$  消去），得：

$$\int\limits_{\gamma}^{\alpha} \sin(\beta_y - \varphi) d\varphi - \int\limits_{0}^{\gamma} \sin(\beta_y + \varphi) d\varphi = 0. \quad (12)$$

积分，得：

$$\cos(\beta_y - \alpha) - \cos(\beta_y - \gamma) + \cos(\beta_y + \gamma) - \cos \beta_y = 0;$$

$$\cos(\beta_y - \alpha) - \cos \beta_y \cos \gamma - \sin \beta_y \sin \gamma + \cos \beta_y \cos \gamma$$

$$- \sin \beta_y \sin \gamma - \cos \beta_y = 0;$$

$$\sin \gamma = \frac{\sin \alpha \sin \beta_y + \cos \alpha \cos \beta_y - \cos \beta_y}{2 \sin \beta_y}.$$

以  $\cos \beta_y$  除分子和分母，得：

$$\sin \gamma = \frac{\sin \alpha \operatorname{tg} \beta_y + \cos \alpha - 1}{2 \operatorname{tg} \beta_y} = \frac{\sin \alpha \operatorname{tg} \beta_y - 2 \sin^2 \frac{\alpha}{2}}{2 \operatorname{tg} \beta_y}. \quad (13)$$

化简并取  $\sin \gamma \approx \gamma$  和  $\operatorname{tg} \beta_y \approx \beta_y$ ，得：

$$\gamma = \frac{\alpha}{2} - \frac{1}{\beta_y} \left( \frac{\alpha}{2} \right)^2 \quad \text{或} \quad \gamma = \frac{\alpha}{2} \left( 1 - \frac{\alpha}{2\beta_y} \right)^*. \quad (14)$$

从 (14) 式可以看出，临界角  $\gamma$  在  $\alpha = \beta_y$  时为最大值，它等于  $0.25\beta_y$  而在  $\alpha = 2\beta_y$  时等于零。在  $\beta_y < \alpha < 2\beta_y$  时  $0.25\beta_y > \gamma > 0$ ，而在  $0 < \alpha < \beta_y$  时得  $0 < \gamma < 0.25\beta_y$ 。这样，在  $\alpha = \beta_y$  时前滑最大。在实际中这种条件是常有的。

\* (14) 式叫做巴甫洛夫公式。

从确定临界角  $r$  可以容易地确定前滑的数值。为此必须应用零件的体积  $V_r$  方程式， $v_r$  是根据临界面计算的体积，在临界面内金属的速度  $v_r$  和轧辊速度的水平投影  $v \cos r$  相等。

$$V_r = v \cdot \cos r \cdot h_r \cdot b_r . \quad (15)$$

用作图的方法可得：

$$h_r = h + D(1 - \cos r) . \quad (15a)$$

$D(1 - \cos r)$  表示从临界面到金属出辊的压下量。

由此可以演算出轧制一道的总压下量（参看图 1）：

$$H - h = D(1 - \cos \alpha) . \quad (15b)$$

这个金属体积用速度  $v_h$  和出辊截面的尺寸  $h$  和  $b$  表示，得：

$$V_h = v_h \cdot h \cdot b . \quad (16)$$

(15) 和 (16) 相等，得：

$$v \cos r [h + D(1 - \cos r)] b_r = v_h \cdot h \cdot b . \quad (17)$$

以  $h \cdot b$  除 (17) 式的两边，得：

$$v_h = v \frac{h + D(1 - \cos r)}{h} \cos r \frac{b_r}{b} .$$

前滑系数  $S$  等于：

$$S = \frac{v_h}{v} = \frac{h + D(1 - \cos r)}{h} \cos r \frac{b_r}{b} . \quad (18)$$

取  $b_r = b^*$  并且由于  $r$  角很小，可以取  $1 - \cos r \approx \frac{r^2}{2}$  和  $\cos r \approx 1 - \frac{r^2}{2}$  简化 (18) 式。

经过代换和化简，(18) 式变为：

$$S = \left(1 - \frac{r^2}{2}\right) \left(1 + \frac{D}{h} \frac{r^2}{2}\right) . \quad (19)$$

数值  $1 - \frac{r^2}{2}$  和 1 相差很少，所以 (19) 式又可简化，最后

得到：  $S = 1 + \frac{r}{h} r^2 . \quad (20)$

前滑用与轧辊圆周速度的比值按百分比表示：

\* 指接触面和金属宽展的宽度，参看下页。

$$5\% = \frac{r}{h} \cdot 100\%. \quad (21)$$

轧制厚度不大的零件时（钢板、扁钢以及其他）前滑为10~15%，在一般情况下前滑为3~5%。

轧制金属时，压缩后不仅零件伸长，而且发生宽展，也就是金属在与轧制方向垂直的方向上流动，宽展用最终宽度 $b$ 比原始宽度 $B$ 的增量表示。

轧制时产生的宽展可以用力学中著名的最小周边原理或是塑性变形时的最小功原理来解释。

现在来比较在相同的轧辊中以相同的压下量轧制厚度相等宽度不等的零件（图5）。在长度相等的变形区中零件的宽度是不同的。

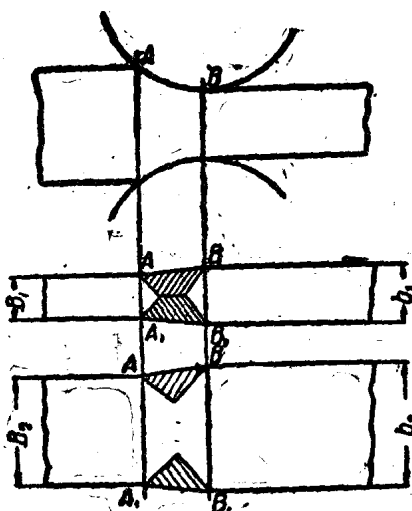


图5 宽展与零件宽度的关系  
作用，但是这个图示不但揭示了宽展的性质，而且给出了计算宽展的一定的量的关系。

对窄的和宽的零件，也就是对窄的和宽的变形区进行比较后，可以看出，在相同的压缩下，窄变形区中发生的相对宽展较大，也就是：

作 $A, A_1, B, B_1$ 各角的等分角线，相交的分角线把变形区分成两个梯形和两个三角形。

根据最小周边原理，塑性变形时质点将沿着出变形区的最短距离的方向流动。这说明图中划斜线部分的金属将趋向零件宽度的方向流动，而无斜线部分的金属沿零件纵向流动。虽然这个图示很简略，因为连续物质的所有质点有相当复杂的相互作用。

$$\frac{b_1 - B_1}{B_1} > \frac{b_2 - B_2}{B_2},$$

因为在这种情况下划斜线部分的面积所占  $A_1 ABB_1$  梯形面积的百分率比宽变形区时的大。绝对宽展量  $b - B$  和斜线部分的面积大小有关，也和边缘的拉缩有关，因为宽度很大时，中部质点的延伸将使侧边部分大大伸长。大家知道，在零件的宽度大于变形区长度时宽展减小（由于边缘拉缩），零件宽度小于变形区长度时宽展也降低（因为斜线部分的面积急剧下降）。因此，零件的宽度接近变形区的长度时宽展为最大。

计算宽展可能以采用 A.П. 契克玛辽夫 (Чекмарев) [50] 的公式较为合适：

$$b - B = \frac{\frac{2(H-h)b_c k}{(H+h)} \left[ 1 + (1+\alpha) \left( \frac{b_c}{r\alpha} \right)^n \right]}{*}, \quad (22)$$

式中  $r\alpha$ ——轧入弧长度，约等于弦长  $\sqrt{r(H-h)}$ 。这个式子可以容易地用作图法得出。

$\frac{b_c}{r\alpha}$  项考虑了变形区宽度与长度比值的影响（相当于图 5 斜线部分的面积相对值）；指数  $n$  在  $b_c \leq r\alpha$  时取为 1， $b_c \geq r\alpha$  时取为 2。 $1+\alpha$  项考虑了工具形状的影响，也就是轧辊的曲率，当曲率增大时 ( $\alpha$  角增大)，延伸增加，宽展减小。 $k$  值为孔型侧壁引起的宽展限制系数。在光面轧辊上轧制时  $k=1$ ，在孔型中非自由宽展的情况下  $k$  值变动范围为 1~0（在后一种情况下，孔型宽度与送入零件的宽度相同，宽展完全被限制）。为简化计算，轧制宽零件时可取  $B$  代替  $b_c$  值。

从 (22) 式可以看出，宽展随着压下量的增大而增大，随厚度的增大而减小。 $\frac{2(H-h)}{H+h}$  项叫做相对压下量。可见，宽展量并非与压下量和金属厚度有关，而与相对压下量的数值有关。这说明以小压下量轧制薄零件时产生的宽展可能和以大压下量轧制厚

\*  $b_c = 0.5(B+b)$  — 变形区的平均宽度。

軋件时的宽展相同。这时 (22) 式的其余部分仍然不变。

宽展的现象与轧制的许多因素有关，目前仍然没有充分的研究。许多人提出过计算宽展的各种公式，但是这些公式都不能得出精确的数据，其中有些公式是从不可靠的宽展图示导出的，因而是不适用的。

作为例子，我们来计算辊径 300 公厘轧钢机上以压下量 4 公厘在孔型中轧制  $H \times B = 14 \times 50$  公厘扁钢的宽展。

已知： $H - h = 4$  公厘， $h = 14 - 4 = 10$  公厘； $H + h = 14 + 10 = 24$  公厘； $r = 0.5 \cdot 300 = 150$  公厘； $\alpha = \arccos\left(1 + \frac{H-h}{D}\right)^*$   
 $= \arccos\left(1 - \frac{4}{300}\right) = \arccos 0.9867$ ； $\alpha = 9^\circ 20'$  或  $\alpha = 0.163$  弧度； $r\alpha = 150 \cdot 0.163 = 24.4$  公厘。

取宽展的限制系数  $k = 0.7$ 。

将数值代入 (22) 式得到绝对宽展等于：

$$b - B = \frac{2 \cdot 4 \cdot 50 \cdot 0.7}{24 \left[ 1 + 1.163 \left( \frac{50}{24.4} \right)^2 \right]} = 2.3 \text{ 公厘。}$$

出孔型后扁钢的宽度等于：

$$50 + 2.3 = 52.3 \text{ 公厘。}$$

相对宽展为：

$$\frac{b - B}{B} = \frac{2.3}{50} = 0.046 \text{ 或 } 4.6\%。$$

在光面轧辊中轧制时，自由宽展将等于  $\frac{2.3}{0.7} = 3.3$  公厘，也就是大 1 公厘。

轧制的目的是延伸金属和得到所需尺寸和形状的制品。所以减小延伸的宽展在多数情况下不希望产生，但是，宽展是不可避免的，这是轧制所具有的特点。限制宽展并非总是可能的，因为它会引起金属进入孔型的辊缝而产生废品。在计算孔型，选择其形状，以及孔型在轧辊中的切入方法时必须考虑到金属的宽展。

\* 由公式： $H - h = D (1 - \cos \alpha)$  导出。